

## 熱傳達 促進技術 (III)

### Techniques of Heat Transfer Enhancement

徐 正 閨\*  
Jeong Yun Seo

### 3. 亂流促進體의 流動一熱傳達特性

#### 3.1 二次元粗度型

여기서는 表面粗度型中에서 二次元粗度型에 속하는 transverse repeated-rib roughness type에 대해서 기술하기로 한다. 또한 이 형식은 後述하는 twisted tape swirl generator과 마찬가지로 가장 많이 研究의 對象이 되고 있다.

##### [1] 流動樣相

亂流狀態에서의 promoter 近傍의 흐름은 非定常性과 擴散이 강하기 때문에 흐름에 대한 可視化技術이 그 能力を 발휘하기가 매우 어렵다.

그러나  $Re$  數가 낮은 흐름에서의 可視化結果는 이와 같은 흐름의 狀況을 推定하는데 有効하며 그 流動樣相은 다음과 같다.

植田・原田<sup>4)</sup>, Webb 등<sup>5)</sup>의 結果를 종합하면 promoter 間의 流動은  $Re$  數나  $e/D$ 에 의한 영향은 크지 않으며, 거의  $P/e$ 에 의해서만 결정된다.

流動狀態를  $P/e$ 의 增大에 대한 變化에 따라 설명하면 다음과 같다(Fig. 5 參照).

$P/e = 0.5$ : 上下로 서로 反對方向의 두 涡流가 생긴다.

$P/e = 1.0$ : 安定된 1개의 涡流가 생긴다.

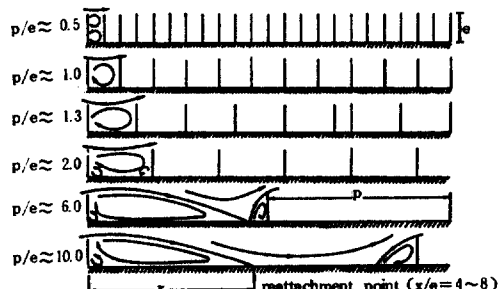


Fig. 5 Flow patterns as a function of  $P/e$

$P/e = 1.3$ : 摩擦係數가 極小化되며, 檺円狀渦流가 생긴다.

$P/e = 2.0$ : 上流側 promoter 直後에 檺円狀渦流의 下部에서 또 하나의 渦流가 생긴다.

$P/e = 6.0$ : promoter 를 넘은 自由流線은 壁面에 再附着하게 된다. 摩擦係數는 이 狀態에서 極大가 된다.

$P/e > 10.0$ : promoter 를 넘은 自由流線은 壁面에 再附着한 후, 境界層을 形成하게 된다.

再附着點의 位置는 再附着의 定義와 promoter의 形狀 등에 따라서 變化하며, 대략

$$X/e = 6 \sim 8$$

이 된다.

## [2] 壓力損失

Savage & Myers<sup>6)</sup>는  $D=153.0\text{ mm}$ 인 円管內水流에서  $e = 6.35 \sim 25.4\text{ mm}$ ,  $W = 4.76\text{ mm}$ ,  $P = 12.7 \sim 330.2\text{ mm}$ 의 turbulence promoter에 대하여 剪斷力에 의한 壓力損失( $\Delta P_f$ )에 관한 摩擦係數  $f_f$  와의 比率(二次元粗度의 경우, 全摩擦係數  $f_T$ 는  $f_s$  와  $f_f$ 의 합으로 표시된다)을 測定하였다(記號는 Fig. 6 參照).

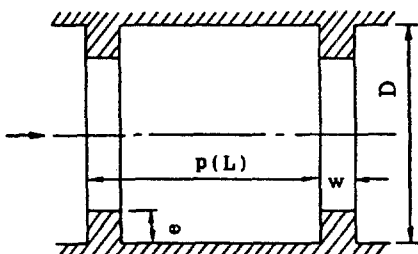


Fig. 6 Model of integral fin

Fig. 7, Fig. 8 에는 각각  $f_f$  및  $f_s/f_T$ 의 測定値를  $e/P$ 에 대해서 표시하였다. 測定 Reynolds 數 範圍는  $10^4 < Re < 10^5$ 이다. 이 그림에서 알 수 있는 바와 같이

① 形狀抵抗係數  $f_F$ 는 모든 rib 높이에 대해서  $e/L$ 의 增加와 더불어 감소하며,  $e/L = 1$ 에서 거의 零이다.

②  $e/L = 1$  以上에서는 剪斷力에 의한 壓力損失에 대한 摩擦係數  $f_s$ 의 效果만이 나타나며,  $e/L = 0.2$  以下에서는 全 壓力損失中에서 80% 以上이 形狀抵抗이 된다. 이 중에서 ②에 대해서는 promoter의 改良을 고려하는데 있어서 중요한 要素가 된다.

특히 transverse repeated-rib type roughness의 實用 pitch 範圍인  $L/e \approx 10$ 에서는 全

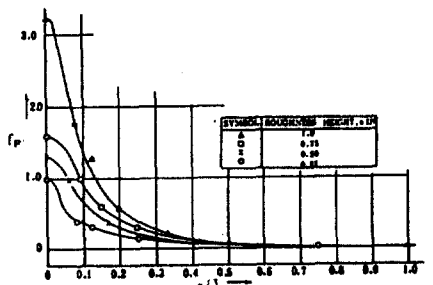


Fig. 7 Dependence of form drag coefficient on the ratio roughness height/roughness spacing ( $10^4 < N_{ReD} < 10^5$ )

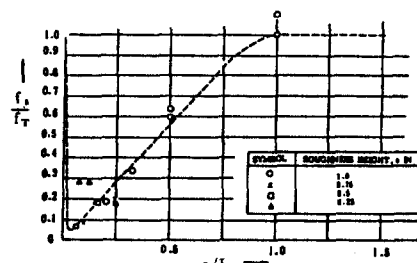


Fig. 8 Contribution of skin friction to the total pressure drop ( $N_{ReD} = 10^5$ )

壓力損失中 90% 以上이 形狀抵抗이며, 流動特性의 改善에는 形狀抵抗의 低減이 필요함을 알 수 있다.

## [3] 摩擦係數

### i) Reynolds 數에 대한 依存性

Fig. 9는 Dipprey & Sabersky<sup>7)</sup>가 測定한 均一粗度를 갖는 円管의 摩擦係數를 표시한다.

이 그림에서 알 수 있는 바와 같이 各 粗度에서  $Re$  數를 增大시키면 摩擦係數가  $Re$  數에 依存하지 않게 되는 「fully rough region」이 存在한다.

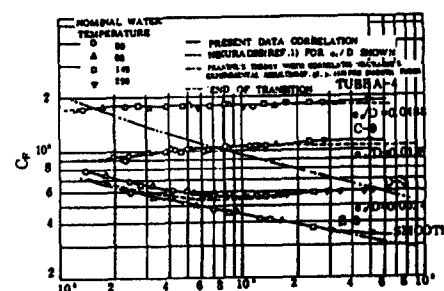


Fig. 9 Friction coefficient vs. Reynolds number for tubes E-3, D-3, C-9, and A-4

fully rough region에서의 摩擦係數는  $e/D$ 에 의해서 정해지며, fully rough region이 시작되는  $Re$  數는  $e/D$ 의 增大와 더불어 작아진다. 이와 마찬가지 結果는 transverse repeated-rib type roughness에 대해서도 확인되었다.

Fig. 10은 Wilkie<sup>8)</sup>에 의한  $P/e = 12$ ,  $W = 0.635\text{ mm}$ ,  $e = 0.254 \sim 1.27\text{ mm}$ 의 경우의 摩擦係數  $f$ 의 測定結果이며, Fig. 9와 마찬가지 結果를 나타낸다.

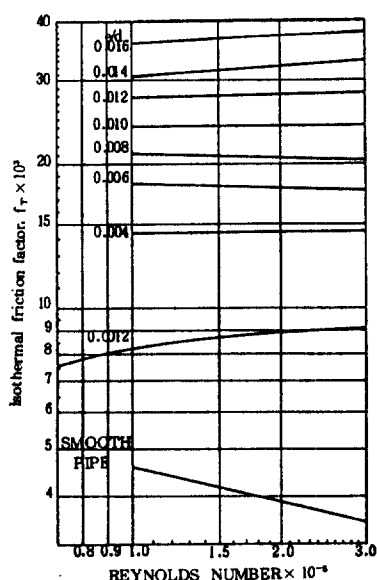


Fig. 10 Friction factor for surfaces with pitch to height ratio of 12

Fig. 11에는  $D = 106.68\text{ mm}$ 인 二重円管環狀流路內의 空氣流에 대해서 얻은 Sheriff & Gumley<sup>9)</sup>의 實驗結果이다. 다만  $P/e = 10$ ,  $e = W$ ,  $e = 0.058 \sim 1.016\text{ mm}$ 이다. 이상에서

(가) 摩擦係數  $f$ 에는 Reynolds 數에 대해서  $f$  가 獨立的으로 나타내는 fully rough region 이 존재한다.

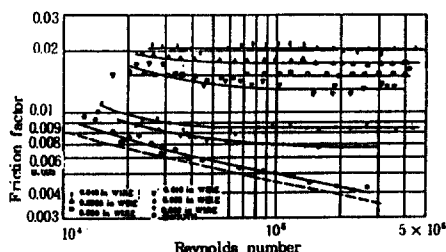


Fig. 11 Transformed friction factors, based on roughness tip area

(나) fully rough region의 시작되는 Reynolds 數는  $e/D$ 의 增大에 따라 減少한다. 는 것을 알 수 있다.

ii)  $e/D$ 에 대한 依存性

Fig. 9 ~ Fig. 11에서 알 수 있는 바와 같이

(a) fully rough region에서의 摩擦係數  $f$  는  $e/D$ 의 增大와 더불어 單調롭게 增加한다.

(b) fully rough region(壁面粗度에 의해

서 形成되는 形狀抵抗의 全摩擦係數의 大部分이 되는 狀況에서 일어난다고 생각된다)은  $e/D$ 의 增大와 더불어 낮은 Reynolds 數에서 시작되게 된다.

Dipprey & Sabersky<sup>7)</sup>에 의하면 fully rough region이 시작되는 狀況은 Nikuradze<sup>10)</sup>가 지적한 바와 같이  $e^+ (\equiv eu^*/\nu)$ 로 표시할 때  $e^+ = 70$ 로 주어진다.

[c] transverse repeated-rib type roughness 에서는 fully rough region은  $e^+ = 35$  (Webb<sup>5)</sup>, Han<sup>11)</sup> 혹은  $e^+ = 30$  (Dalle Donne & Meyer<sup>12)</sup>)에서 시작된다.

iii)  $P/e$ 에 대한 依存性

Fig. 12는 Savage & Myers<sup>6)</sup>가 円管( $D = 153.0\text{ mm}$ )內 水流에 대해서 實驗한 結果( $10^4 < Re < 10^5$ )를 나타낸다.

이 그림에서  $0.04 < e/D < 0.166$ 의 범위에서 摩擦係數  $f$  는  $e/D$ 와는 관계없이 거의  $P/e = 7$ 에서 最大가 된다.

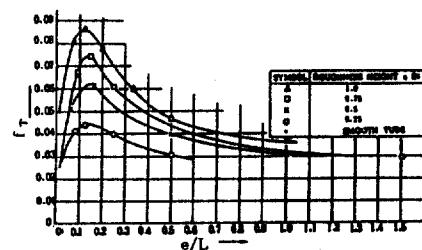


Fig. 12 Dependence of overall coefficient on the ratio : roughness height/roughness spacing ( $10^4 < N_{Re} < 10^5$ )

Fig. 13은 Wilkie<sup>8)</sup>가 二重管內 空氣流에 대해서 實驗한 結果를 나타낸 것이다. 이 그림에서는  $Re = 10^5$ 에서  $0.004 < e/D < 0.016$ 의 범위에서는同一한  $e/D$ 에 대해서  $f$ 의 最大值를 나타내는  $P/e$ 는  $e/D$ 의 감소와 더불어 증대하고 있다.

따라서

① 충분히 큰  $e/D$ 에 있어서는  $f$  는  $P/e$ 가 6~8 정도에서 最大가 되며

②  $e/D$ 가 작은 경우에는  $e/D$ 가 작을수록 큰 값의  $P/e$ 에서  $f$  는 最大가 됨을 알 수 있다.

또 植田・原田<sup>4)</sup>의 結果에 의하면

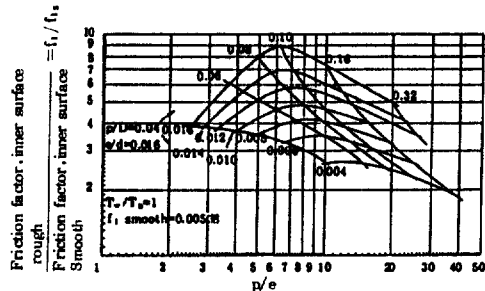


Fig. 13 Friction factor relative to smooth surface value for Reynolds number of  $1 \times 10^5$

③  $f$  는  $P/e = 1$  前後에서 極小值가 된다.

iv) promoter 形狀에 대한 依存性

turbulence promoter로서는 보통 直四角型斷面을 갖는 것이 사용되는데, Wilkie<sup>8)</sup>는 이 promoter의 edge를  $45^\circ$ 로 깎아내거나 둉을게 만들므로서 摩擦係數가 5~10% 정도 低減된다는 것을 제시하였다.

한편, Han<sup>11)</sup>은 Fig. 14에 표시한 바와 같은 形狀의 promoter에 대해서 實驗을 실시하

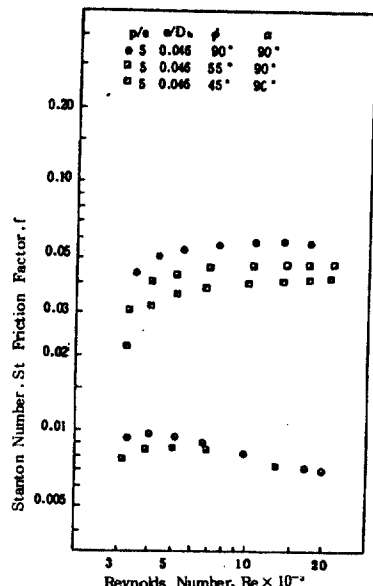
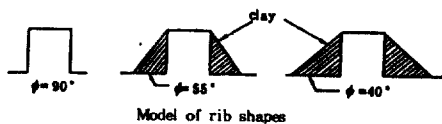


Fig. 14 Friction factor and Stanton number for different rib shapes

여 rib shape angle  $\phi$ 의 減少에 의한 摩擦係數  $f$ 의 감소양상을 제시하였다(Fig. 14 參照).

이들 結果는 形狀抵抗係數가 작은 形狀을 갖는 rib의 使用으로  $f$  가 감소한다는 것을 나타내고 있다.

v) Helix angle ( $\alpha$ )의 依存性

Han<sup>11)</sup> 등은 等價直徑  $De = 24.9 \sim 116.2$  mm의 直四角形 流路內 空氣流에서 摩擦係數  $f$ 에 대한 helix angle  $\alpha$ 의 영향을 조사하여 Fig. 15와 같은 結果를 얻었다. 이 그림에 의하면  $f$  는  $\alpha$ 에 대해서 2次曲線形狀으로 변화하고 있다. 이와 같은 結果는 Wilkie<sup>8)</sup>도 얻고 있다.

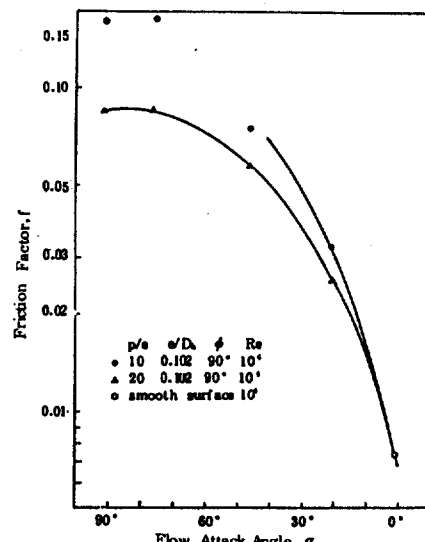


Fig. 15 Friction factor vs flow attack angles

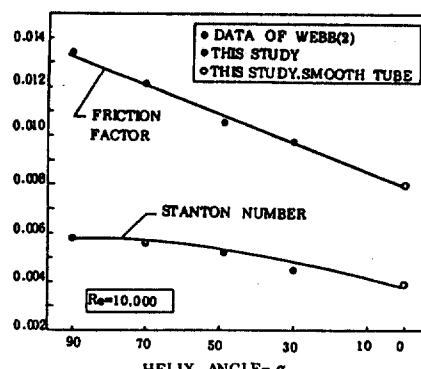


Fig. 16 Stanton number and friction factor vs. helix angle for  $Re = 10,000$

한편 Gee & Webb<sup>13)</sup>는  $D = 25.4\text{ mm}$ 의 円管內空氣流에 대해서  $\alpha$ 의 영향을 實驗的으로 조사하여 Fig. 16과 같이  $f$ 는  $\alpha$ 에 대해서 直線的으로 변화함을 제시하였다. 그리고 Han의 實驗에서는  $e/D = 0.102$ ,  $P/e = 10 \sim 20$ 이 며 Gee의 實驗의 경우는  $e/D \doteq 0.01$ ,  $P/e = 15.2$ 이다.

또 Han<sup>11)</sup>은 流路의 上下面의 粗度가  $\frac{1}{2}P$  씩 어긋나게 配列된 staggered rib에 대한 경우의 實驗에서  $f$ 는 對稱配列의 경우와 同一하다는 것을  $e/De = 0.076$ ,  $P/e = 5$ 의 條件下에서 확인하였다.

[ 다음號에 계속 ]